



# N°9

du 21/10 au  
27/10/2020

## Rédacteurs

TERRES INOVIA en collaboration avec la Chambre d'Agriculture d'Eure-et-Loir

## Observateurs

AGROPITHIVIERS, AXEREAL, CA 18, CA 28, CA 36, CA 37, CA 41, CA 45, CETA CHAMPAGNE BERRICHONNE, COMPANION, ETS BODIN, ETS VILLEMONT, FDGEDA DU CHER, FREDON CENTRE, SCAEL, UCATA.

## Relecteurs

La FDGEDA du Cher, SRAL Centre.

## Directeur de publication :

**Philippe NOYAU**,  
Président de la Chambre régionale d'agriculture du Centre-Val de Loire

13 avenue des Droits de l'Homme – 45921 ORLEANS

Ce bulletin est produit à partir d'observations ponctuelles. Il donne une tendance de la situation sanitaire régionale, qui ne peut pas être transposée telle quelle à la parcelle.

La Chambre régionale d'agriculture du Centre-Val de Loire dégage donc toute responsabilité quant aux décisions prises par les agriculteurs pour la protection de leurs cultures.

*Action du plan Ecophyto piloté par les ministères en charge de l'agriculture, de l'écologie, de la santé et de la recherche, avec l'appui technique et financier de l'Office français de la Biodiversité*

# Colza

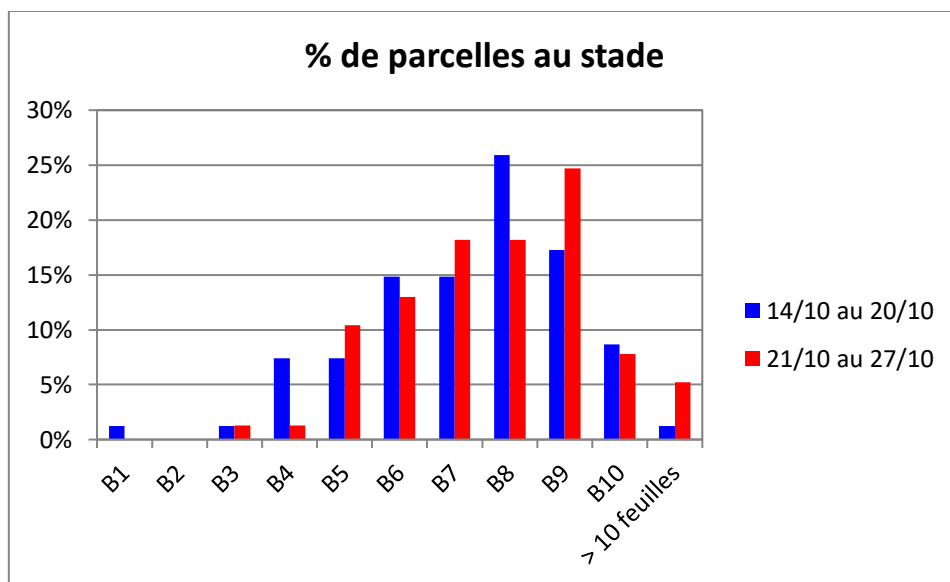
## RESEAU 2020-2021

Le réseau est actuellement composé de 95 parcelles réparties sur l'ensemble de la région Centre-Val de Loire. Les observations sont disponibles pour 77 parcelles pour ce BSV.

## STADES DES COLZAS

La forte hétérogénéité des stades au sein des parcelles du réseau appelle à la vigilance vis-à-vis de la prise en compte des risques ravageurs à venir : Charançon du bourgeon terminal et larves d'altises.

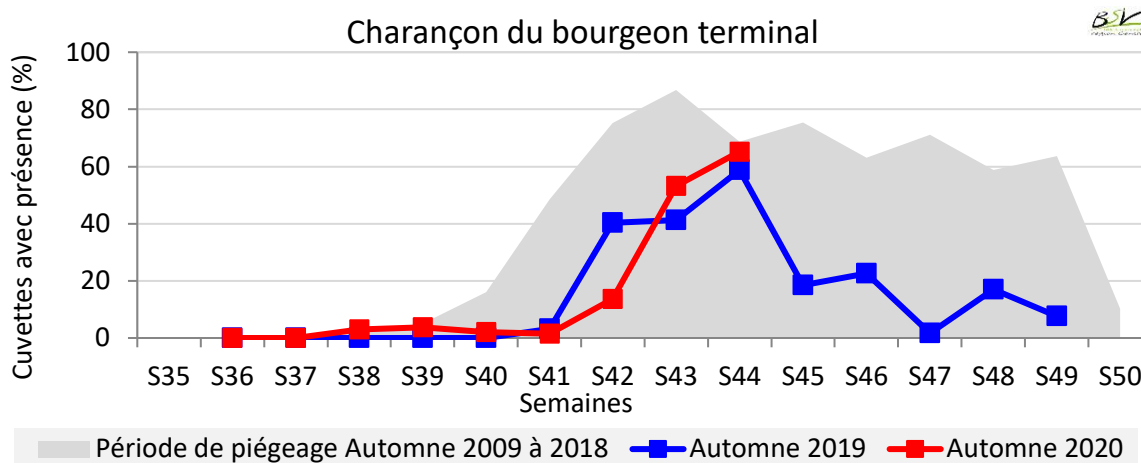
En effet, un colza à 3 feuilles n'aura pas la même tolérance qu'un colza à plus de 10 feuilles. Pour les parcelles très en retard, leur viabilité doit être prise en compte pour ne pas sur investir si leur viabilité n'est pas assurée.



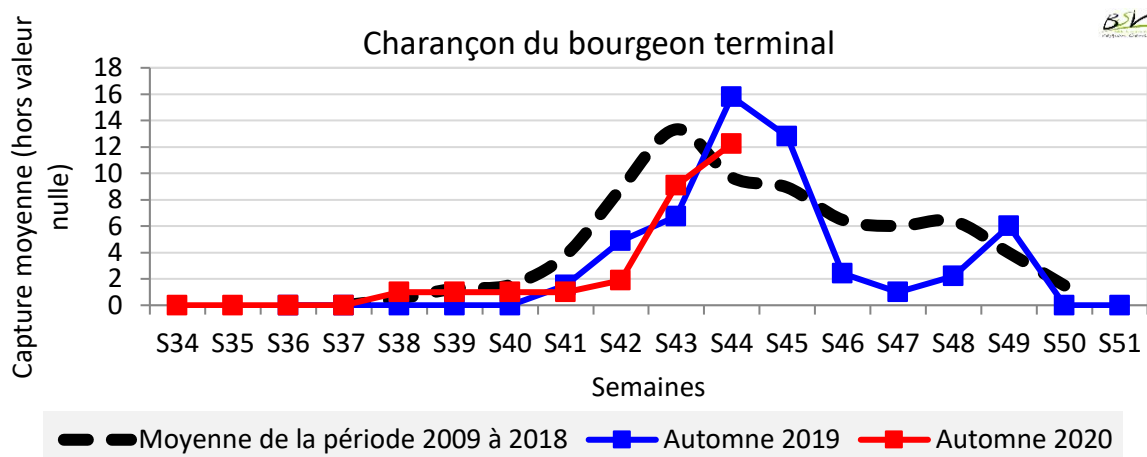
### Contexte d'observations

Le nombre de cuvettes signalant la présence de l'insecte a continué d'augmenter pour dépasser les 65%. Tous les départements de la région capturent des insectes dans les cuvettes. Il est encore difficile d'affirmer que le pic de vol est atteint mais par comparaison aux autres années, il semble être proche.

**Il est important de surveiller les cuvettes régulièrement pour bien évaluer le pic de vol.**



La tendance est la même pour le nombre d'insectes capturés qui poursuit sa hausse sans atteindre pour l'instant les valeurs de la campagne passée. Les valeurs sont comprises entre 1 et 130 insectes.



L'analyse par département fait apparaître une certaine homogénéité des captures. Quelques valeurs extrêmes augmentent ponctuellement les valeurs, pas d'effet nord-sud ni sur la précocité des captures ni sur le nombre d'insectes piégés cette campagne pour l'instant.

Départements	Nombre moyen d'individus (hors 0)	Nombre de cuvettes
CHER	7	8
EURE-et-LOIR	6	12
INDRE	28 (cas à 130)	6
INDRE-et-LOIRE	10	6
LOIR-et-CHER	2.8	5
LOIRET	23 (cas à 56 et 73)	7

## Acquisition de la capacité à pondre par département

Depuis la semaine dernière, 47 échantillons de charançons du bourgeon terminal sont arrivés aux laboratoires FREDON CVDL et Axereal. 37 échantillons contenaient des femelles dont une grande partie prélevée le 19/10. Si dans la majorité des cas, les femelles n'étaient pas aptes à pondre, quelques femelles ont la capacité à déposer les premiers œufs.

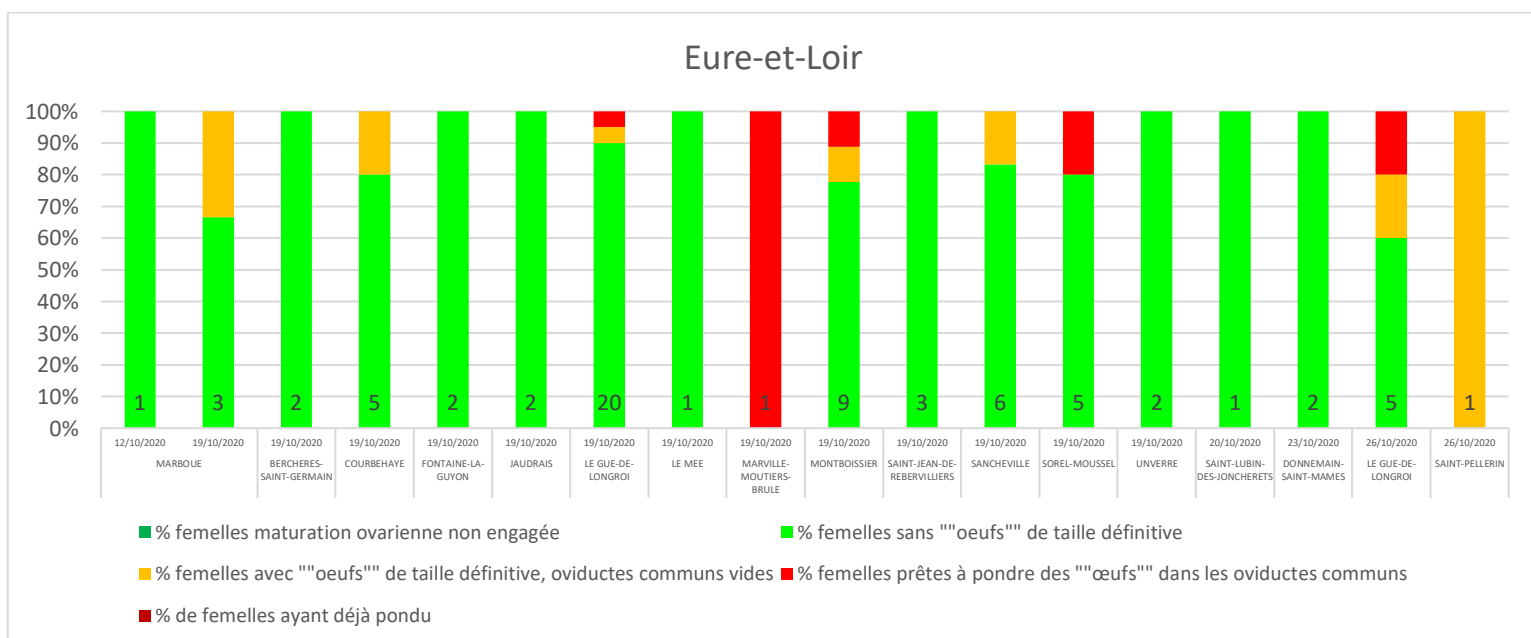
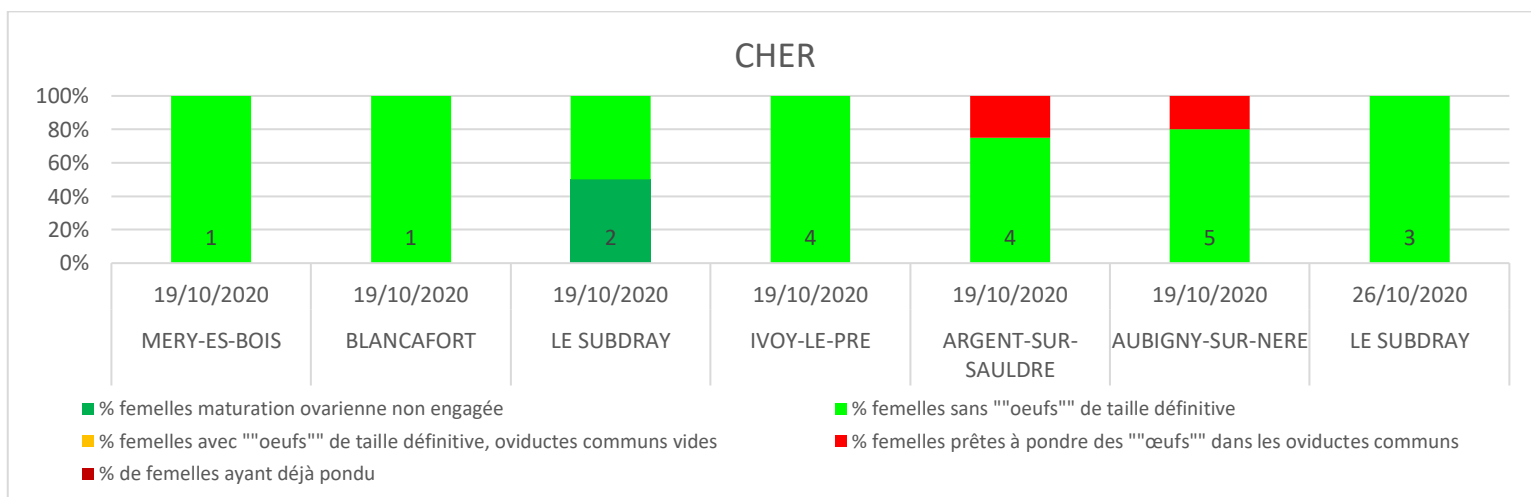
Les échantillons récents du 23 et 26/10, confirment la tendance qu'acquisition de la capacité à pondre. A ce jour aucune femelle analysée n'a le statut "ayant déjà pondu".

De nouveaux échantillons sont en cours d'analyses.

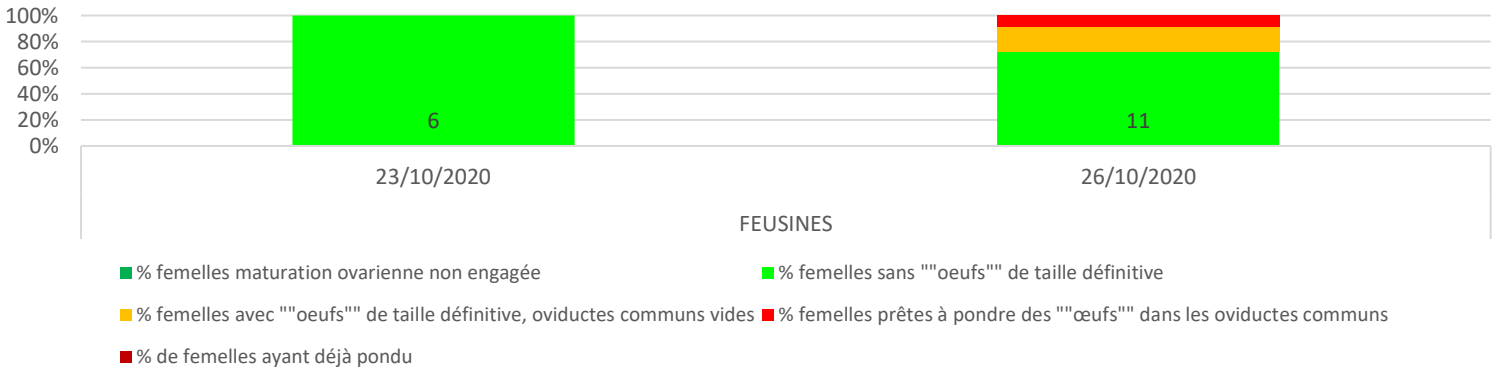
Des conditions climatiques plus ensoleillées et plus douces en fin de semaine devraient être favorables aux vols, à l'activité et à l'évolution de la capacité à pondre avant une nouvelle dégradation annoncée en fin de Week end et début de semaine prochaine.

Avec les informations disponibles à ce jour, le risque est considéré comme **moyen** et devrait passer à **fort** dans les prochains jours, selon les niveaux de captures observées.

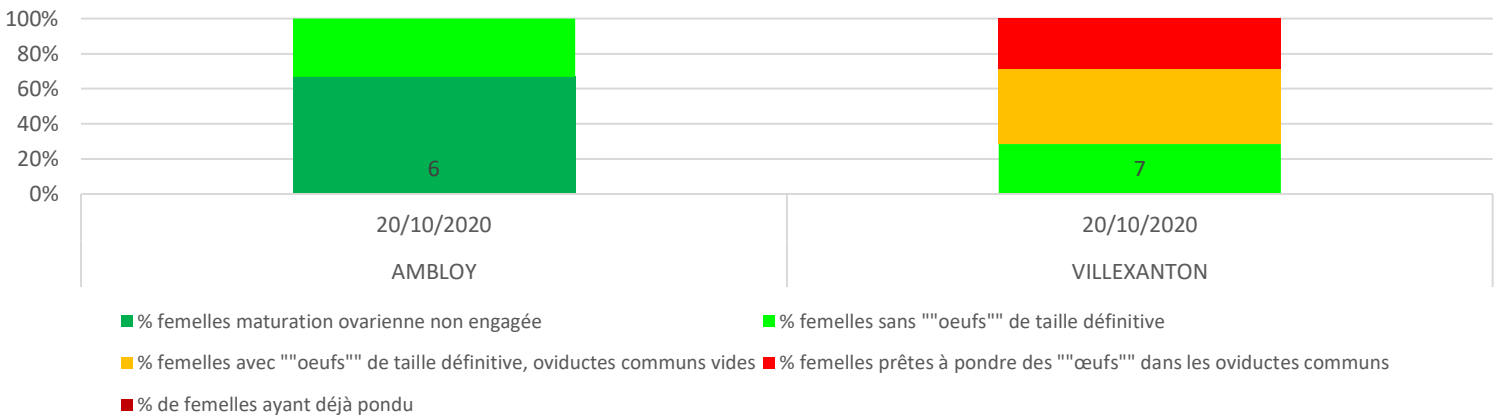
*Lors de l'analyse des graphiques ci-dessous, il est important de prendre en compte le nombre de femelles analysées (valeur inscrite dans la base du graphique).*



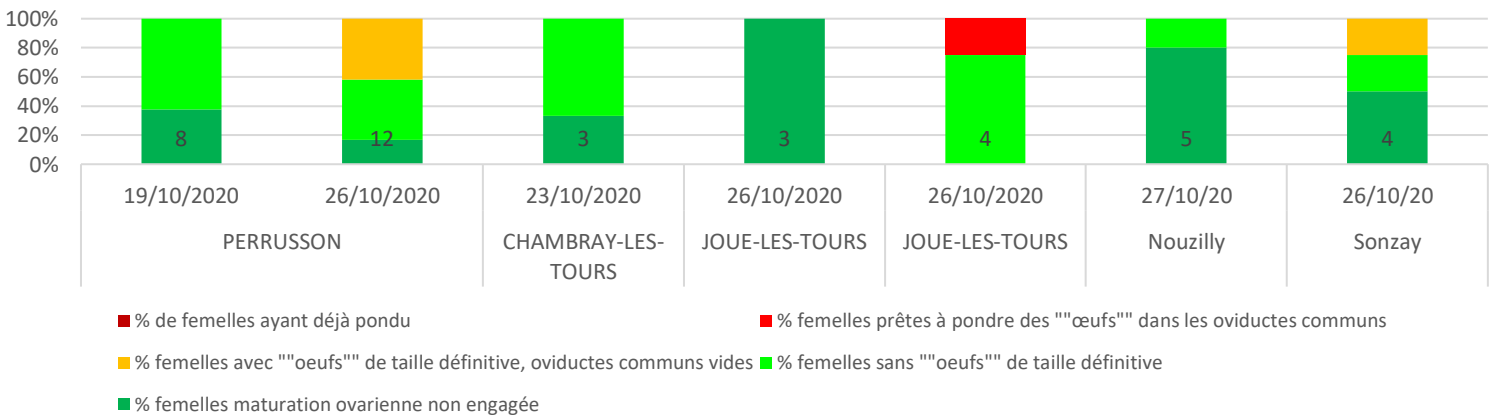
## Indre



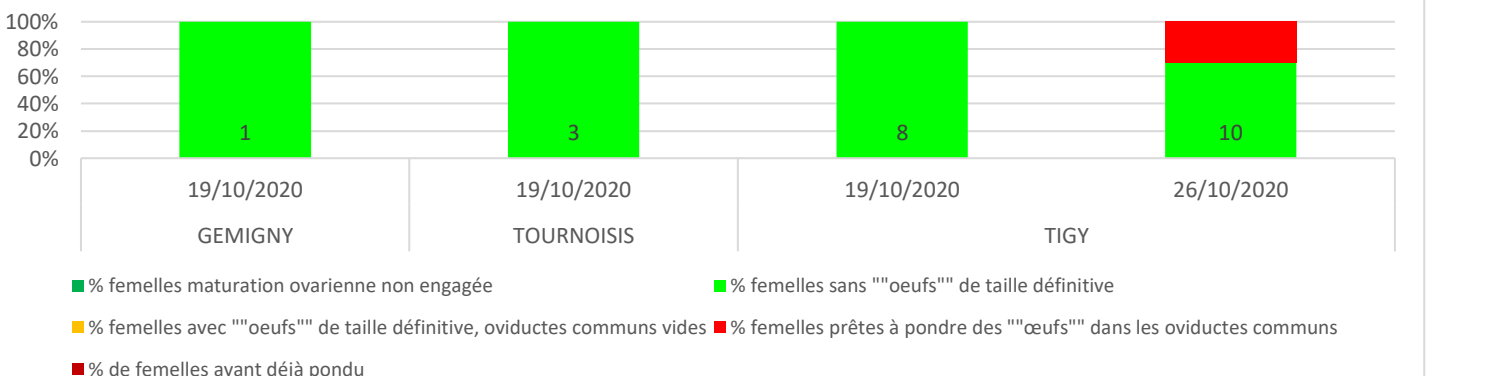
## Loir-et-Cher



## Indre-et-Loire



## Loiret



## Période de risque


→ De 4-5 feuilles jusqu'au décolllement du bourgeon terminal.

## Seuil de nuisibilité

→ Il n'y a pas, pour le charançon du bourgeon terminal, de seuil de risque.

Etant donné la nuisibilité potentielle de cet insecte, il est considéré que sa seule présence sur les parcelles est un risque. Il est plus important sur les colzas à faible développement et faible croissance. [Une grille est disponible pour évaluer le risque à la parcelle.](#)

## Pour aller plus loin

La gestion du risque du charançon du bourgeon terminal comme celui de l'altise d'hiver doit prendre en compte les phénomènes de [résistance aux pyréthriinoïdes](#). 

## LARVE ALTISE D'HIVER

### Contexte d'observations

Si la colonisation importante des parcelles par les altises adultes peut être actée vers le 25 septembre. **Il est encore trop tôt pour mettre en place un prélèvement Berlèse cette semaine.**

### Modélisation des dates d'apparition des stades larvaires

L'utilisation du modèle de développement larvaire permet d'estimer l'apparition des larves de grosses altises dans les pétioles, pour positionner au mieux les observations.

→ A partir des données météorologiques, pour une date donnée de début du vol, il est possible de définir le cycle d'évolution de l'insecte.

Simulation cycle Altise Hiver - Station Météo : **TOURS (37)** – Source Météo-France

Date de début de vol observé	Ponte	Eclosion L1	Mue L2	Mue L3
25/09/2019	30/09/2020	27/10/2020	12/11/2020	
01/10/2019	07/10/2020	05/11/2020	27/12/2020	
05/10/2019	10/10/2020	23/11/2020		
10/10/2019	21/10/2020			

(en vert, calculs réalisés avec les données réelles sinon valeurs Normales 1999-2018)

Simulation cycle Altise Hiver - Station Météo : **CHARTRES (28)** – Source Météo-France

Date de début de vol observé	Ponte	Eclosion L1	Mue L2	Mue L3
25/09/2019	01/10/2020	01/11/2020	27/12/2020	
01/10/2019	08/10/2020	28/11/2020		
05/10/2019	11/10/2020			
10/10/2019	22/10/2020			

(en vert, calculs réalisés avec les données réelles sinon valeurs Normales 1999-2018)

Simulation cycle Altise Hiver - Station Météo : **BOURGES (18)** – Source Météo-France

Date de début de vol observé	Ponte	Eclosion L1	Mue L2	Mue L3
25/09/2019	01/10/2020	31/10/2020	30/11/2020	
01/10/2019	07/10/2020	14/11/2020		
05/10/2019	10/10/2020	14/12/2020		
10/10/2019	21/10/2020			

(en vert, calculs réalisés avec les données réelles sinon valeurs Normales 1999-2018)

Simulation cycle Altise Hiver - Station Météo : **Orléans (45)** – Source Météo-France

Date de début de vol observé	Ponte	Eclosion L1	Mue L2	Mue L3
25/09/2019	01/10/2020	31/10/2020	14/12/2020	
01/10/2019	08/10/2020	26/11/2020		
05/10/2019	11/10/2020	27/12/2020		
10/10/2019	21/10/2020			

(en vert, calculs réalisés avec les données réelles sinon valeurs Normales 1999-2018)

Simulation cycle Altise Hiver - Station Météo : **Blois Aéro (41)** – Source Météo-France

Date de début de vol observé	Ponte	Eclosion L1	Mue L2	Mue L3
25/09/2019	01/10/2020	30/10/2020	03/12/2020	05/02/2021
01/10/2019	07/10/2020	23/11/2020	16/01/2021	17/03/2021
05/10/2019	11/10/2020	18/12/2020	01/03/2021	24/03/2021
10/10/2019	21/10/2020	31/01/2021	19/03/2021	02/04/2021

(en vert, calculs réalisés avec les données réelles sinon valeurs Normales 1999-2018)

Simulation cycle Altise Hiver - Station Météo : **Chateauroux (36)** – Source Météo-France

Date de début de vol observé	Ponte	Eclosion L1	Mue L2	Mue L3
25/09/2019	01/10/2020	30/10/2020	27/11/2020	
01/10/2019	07/10/2020	12/11/2020		
05/10/2019	10/10/2020	04/12/2020		
10/10/2019	21/10/2020			

(en vert, calculs réalisés avec les données réelles sinon valeurs Normales 1999-2018)

**Rappel :** Les larves après éclosion (L1) rejoignent les pétioles des plantes à partir du sol. Il est possible dans un premier temps d'observer la présence de la perforation leur permettant de pénétrer dans la plante. Ensuite les différents stades larvaires (L2-L3) sont observables dans les pétioles. Les larves âgées (Stade larvaire L3) sont les plus à risque car les meilleures candidates à la migration vers le cœur.

## Période de risque

→ Depuis le stade rosette jusqu'au décollément du bourgeon terminal.

## Seuil de nuisibilité

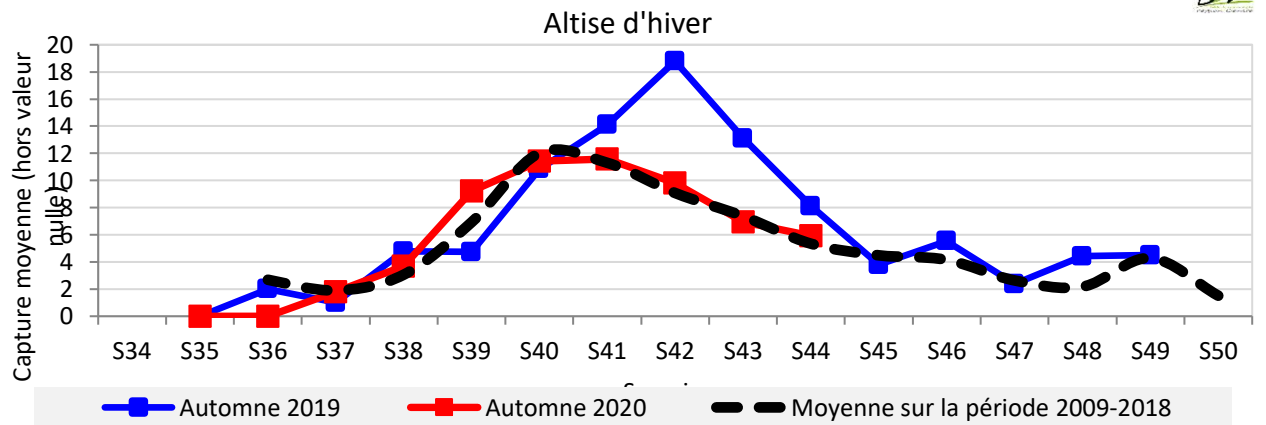
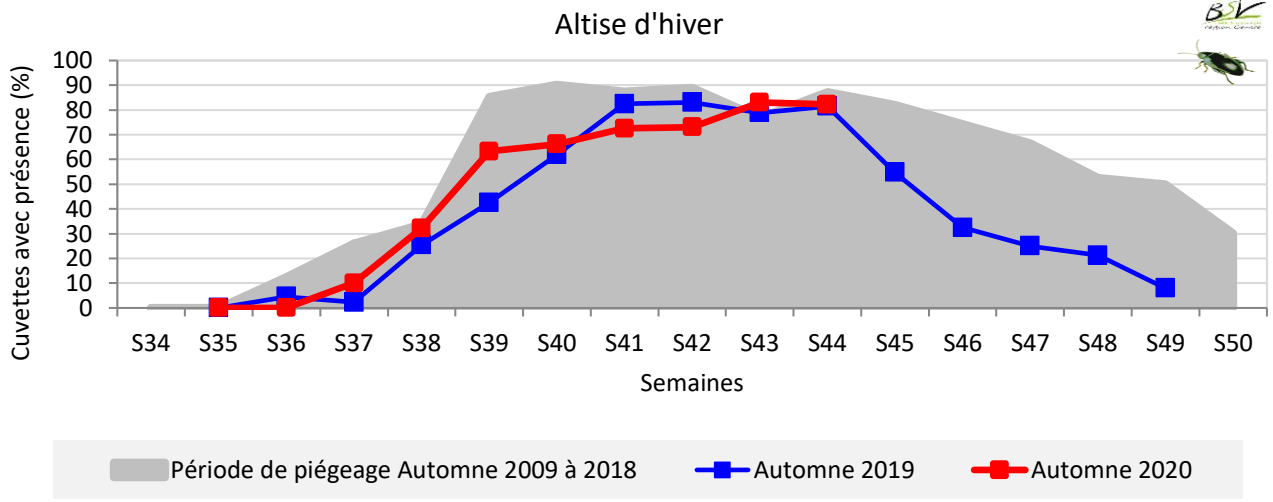
→ 70 % de plantes avec au moins une galerie au stade rosette. Dans le cas d'utilisation de la méthode Berlèse, le seuil de nuisibilité est atteint à partir de 2 à 3 larves par plante.

## Pour aller plus loin

Retrouver les informations sur [la biologie](#) et [les résistances aux pyréthrinoïdes](#).

## Contexte d'observations

Pour information



## Charançon Gallicole

Adulte : ne pas confondre avec le charançon du Bourgeon Terminal

<p>Face dorsale assez granuleuse Inter-stries élytrales larges Pilosité dorsale très clairsemée</p>	<p>Tache dorsale Pas de tache .....blanchâtre</p>	<p>Corps noir et brillant Pilosité courte et clairsemée</p>
<p>Tache Latérale (thoraco-élytrale) Blanchâtre ..... Rousse</p>		
<p><b>Charançon Gallicole</b> <b>C. pleurostigma</b></p>	<p>Noires .....Extrémités des pattes (tarses) ..... Rousses</p>	<p><b>Charançon du Bourgeon Terminal</b> <b>C. picitarsis</b></p>

	<p>Sec Mouillé</p>		<p>Sec Mouillé</p>
<p><b>Charançon de la tige du colza</b> <i>(Ceutorhynchus napi)</i> Le plus gros des charançons rencontrés sur colza a une forme ovale, une couleur gris cendré et le bout des pattes est noir.</p>	<p><b>Charançon de la tige du chou</b> <i>(Ceutorhynchus pallidactylus)</i> Le corps est recouvert d'une abondante pilosité rousse puis grise. On peut distinguer une tache blanchâtre entre le thorax et l'abdomen, bien visible sur le dos, et surtout l'extrémité de ses pattes est brun orangé (rousse).</p>		